

论文标题^{*}

姓名¹ 姓名² 姓名³

(1. 作者单位, 城市邮编; 2. 作者单位, 城市邮编; 3. 作者单位, 城市邮编)

摘要 摘要内容

关键词 关键词 1, 关键词 2, 关键词 3, ….

MR(2000) 主题分类号 MR 分类号 1, MR 分类号 2

TITLE

XING Ming¹ XING Ming² XING Ming³

(1. *Author's Address, City* Postcode; 2. *Author's Address, City* Postcode; 3. *Author's Address, City* Postcode;)

Abstract In this paper, we …

注意: 英文摘要需将文中研究结果和结论尽量详细阐述, 使不懂中文的学者能了解到文章的研究成果.

Keywords Keyword1, Keyword2, Keyword3, ….

1 引言

Bustos 和 Concha^[1] 讨论了 …, 其它结论见文 [2–4],
公式示例^[2, 3, 5–7]

$$\begin{aligned}a &= b \\&= c \\&= d.\end{aligned}\tag{1.1}$$

^{*} 基金项目.

收稿日期: 200x-xx-xx, 收到修改稿日期: 200x-xx-xx.

编委:

其中由式 (1.1), 我们可以得到¹

$a=b.$

定义 1.1 内容

引理 1.2 内容

证 内容

注 1.3 内容

注意文中的标点符号应使用英文半角状态下的格式, 例如: , . : ; ? () “ ” 等; 使用的大写希腊字母统一要用斜体标示, 例如: $\Phi, \Lambda, \Theta, \Omega, \cdots$; 文章中请使用 1), 2), 3), \cdots 或 (i), (ii), (iii), \cdots 或 (h), (i), (g), \cdots 表示分类符号; 公式中的微分符号 d 要正体, 例: $\int f(x)dx$, $dy(t)=t^2+1$; 常数 e 字体为正体, 例: e 或 e, 除此之外, 公式序列要先列举两项, 再使用省略号 \cdots , 例: $\{f(x_i), i=1, 2, \cdots, n\}$, $y_1 < y_2 < \cdots < y_n$, $A=A_1+A_2+\cdots+A_m, \cdots$.

2 主要定理及其证明

定理 2.1 内容

证 内容

2.1 表格示例

表 1 标题 (Table 1 Title)				
ρ	AR(1)		MA(1)	
	θ_0	β_0	θ_0	β_0
0.6	0.0037	2.1503	0.0071	2.1247
0.1	0.0034	1.8573	0.0034	1.7147
0.0	0.0031	1.8490	0.0030	1.6400
0.1	0.0033	2.0329	0.0035	2.1271

2.2 图示例

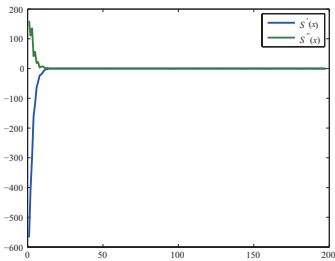


图 1 标题
(Figure 1 Title)

1. 脚注的命令格式.

其中 [scale=0.42] 的参数可以调节大小.

注 2.2 注意文中提供的图要求为清晰的矢量图 (eps 格式或 pdf 格式), 图为 Times New Roman Regular 字体, 图中变量符号为 Times New Roman Italic 字体 (可使用 Adobe Illustrator 软件实现), 图中所使用的数学符号要与文中格式保持一致.

2.3 公式示例

$$\begin{aligned} AAAAAAAAAA &= BBBBBBBBBBBB \\ &\quad +CCCCCCCCCC \\ &= DDDDDDDDDDDDD. \end{aligned} \quad (2.1)$$

$$\begin{aligned} AAAAAA &= (A+B) - (B^{-2^A} + 1)D - C, \\ BBBBBBBB &= AA - BB + \left\{ \frac{A}{B} + \frac{B^2 - C + \frac{A}{B}}{CC + AD} \right\} - CCCC \\ &\quad + DDDDD, \\ DDDDDDDD &= \Omega A + \Phi_2. \end{aligned} \quad (2.2)$$

$$A_1 = B^T, \quad A_2 = C, \quad A_3 = D, \quad (2.3)$$

$$AA = \begin{cases} BBB, & C = DD, \\ 0, & \text{其他.} \end{cases} \quad (2.4)$$

$$\begin{aligned} \|\tilde{u}^y(\cdot, t)\|_{L^1} &\leq e^{\bar{\beta}t} \|u_0\|_{L^1} + \int_0^t e^{\bar{\beta}(t-s)} \left\| \frac{f(\cdot, s)}{y(s)} \right\|_{L^1} ds \\ &\leq e^{\bar{\beta}t} \|u_0\|_{L^1} + \int_0^t e^{\bar{\beta}(t-s)} \frac{\|f(\cdot, s)\|_{L^1}}{y(s)} ds \\ &\leq e^{\bar{\beta}T} \left(\|u_0\|_{L^1} + \frac{\|f\|_{L^1(Q)}}{\delta} \right) \doteq r_0. \end{aligned} \quad (2.5)$$

参 考 文 献

- [1] 列举几类参考文献的排版格式 (Layout the formats of several references).
- [2] Bustos M C, Concha F. On the construction of global weak solutions in the kynch theory of sedimentation. *Math. Methods in the Appl. Sci.*, 1988, **10**(3): 245-264.
- [3] 赵群依, 刘顺兰, 王江柱. 生成 M 序列的一种新的算法. 计算机安全, 2007, (11): 11-13.
(Zhao Q Y, Liu S L, Wang J Z. A new algorithm of M sequences generation. *Network & Computer Security*, 2007, (11): 11-13.)
- [4] Courant R, Friedrich K F. Supersonic Flows and Shock Waves. New York: Wiley-Interscience, 1948.

-
- [5] 冯克勤, 刘凤梅. 代数与通信. 北京: 高等教育出版社, 2005.
(Feng K Q, Liu F M. Algebra and Communication. Beijing: Higher Education Press, 2005.)
- [6] Chen W H, Wei C G, Lu X M. Mean square exponential stability of uncertain linear impulsive stochastic systems with Markovian switching. Chinese Control and Decision Conference, 2013, 22–34.
- [7] 李骥泽, 廖正录, 申世芳, 等. 用 ARIMA 模型对我国猪肉价格的走势分析. 猪业科学, 2013, (6): 126–129.
(Li J Z, Liao Z L, Shen S F, et al. The analysis of the pork price change trend in China by the ARIMA model. *Swine Industry Science*, 2013, (6): 126–129.)
- [8] 赵闯. 结合灰色理论的 BP 神经网络猪肉价格预测的建模与改进研究. 硕士论文. 吉林大学, 吉林, 2010.
(Zhao C. The modeling and improvement of BP neural network prediction for the price of pork which combined with gray theory. Master Thesis. Jilin University, Jilin, 2010.)
- [9] Text.
- [10] Text.

附录